تحضير وتشخيص ودراسة الخواص الحرارية لأنواع جديده من البولي استرات الاروماتية المعتمدة على مونوميرات ثنائية الهايدروكسيل، مع حامض 3,3- ازو ثنائي البنزويك وحامض الفثاليك

محمد على مطر ختام عبد الامير حميد

كلية الهندسة/جامعة القادسية قسم الهندسة الكيمياوية/كلية التربية Mohammeddw73@gmail.com mohammed.ali.@qu.edu.iq

الخلاصة

في هذا العمل سلسله جديدة من البولي استرات الاروماتية تم تخليقها باستخدام طريقة البلمرة التكثيفية لمونوميرات الروماتية ثنائية الهايدروكسيل تحتوي (على مجاميع المثيلين والفنيل وحلقة البريدين الغير متجانسة) وهذه المونوميرات هي (BCHPBM, BHPFM,FBHP,CPBHP) مع الحوامض ثنائية الكاربوكسيل مثل (Maleic acid في استرات تنراوح (Maleic acid في استرات تنراوح في المنوية لنواتج البولي استرات تنراوح ما بين (%87-75). وتمت دراسة قابلية الذوبان للبوليمرات المحضرة في مجموعه من المذيبات العضوية المختلفة مثل (pyridine, CHCl3, CH₂Cl₂, NaOH, H_2 SO₄, HNO₃, acetone, benzene, DMF, DMSO, THF) وأيضا تم دراسة الثبات الحراري لهذه البولي استرات من خلال تقنية التحليل الحراري الوزني (TGA) وقد شخصت المونميرات FT-IR, 1 H-NMR

الكلمات المفتاحية: البولي استرات الاروماتية، حامض الفثالك اللامائي، حامض مالئيك ،حامض ازو داي بنزويك

Preparation Characterization and Study Thermal Properties of New Aromatie Polyester Based on Di Hydroxyl Monomers With 4,4-Azo Di Benzoic Acid Maleic Acid and Phthalic Acid

Abstract

In this work series of new aromatic Polyesters were synthesized by polycondensation of various aromatic monomers di hydroxyl .this monomers containing on pyridine heterocyclic ring ,aliphatic methylene linkage and 4,4-Azo di benzoic acid (BCHPBM, BHPFM,FBHP,CPBHP) with Acids(4,4Azo di benzoic acid, phthalic acid and Maleic acid) using dibutyltine dilaurate as Catalyst .all polyesters(P.E1-P.E4)containing pyridine heterocyclic ring, aliphatic methylene linkage, and Azo group. The yield of Polyesters varies from 75-88%. All of these new aromatic polyester show very good solubility in common organic solvents, such as (pyridine, CHCl₃, CH₂Cl₂, NaOH, H₂SO₄, HNO₃, acetone, benzene, DMF, DMSO, THF) without need for heating. Thermal stability of polyesters was studied using thermo gravimetric analysis (TGA). Monomers and polyesters characterized by spectrosticcopyFT-IRand¹HNMR.

Key Words: Aromatic polyester ,Phathalic acid , Maleic acid ,Azo di benzoic acid.

المقدمة

البولي استرات هي واحدة من البوليمرات الصناعية الأكثر تتوعا فهي على نطاق واسع تستخدم تجاريا باسم الألياف، واللدائن، والطلائيات بسبب امتلاكها خصائص ميكانيكيه جيده ومستقرة حراريا وقليلة الكلفة(Sahay and Krishnan 2005, Sanadhya et al., 2014, Katoch et al., 2010). وايضا يمكن استخدامها في انتاج الملابس التي تستخدم في البيئات الرطبة وذلك بسبب مقاومتها العالية للماء. والبولي استرات هي عبارة عن سلاسل متجانسة ذات جزيئات كبيره تحتوي على المجاميع الكربوكسيلية الاستريه

التي لا تتجزأ من البوليمر. وانها تختلف عن غيرها من البوليمرات التي تحتوي على الاستر (مثل استرات السليلوز والبولي اكريليت) من حيث أن وظيفة الاستر جزء مهم في تركيبة البوليمر. حيث يمكن تكوين البولي استر من البلمرة التكثيفية التي هي تفاعل المونوميرات ثنائية المجموعة الوظيفية مثل الدايولات (مركبات ثنائية الهيدروكسيل) مع الحوامض ثنائية الكاربوكسيل(Hall et al., 2011). وتلقى البولى استرات قدرا كبيرا من الاهتمام منذ وقت مبكر من العمل من قبل كاروثرز، الذي بدأ الدراسة على العديد من بامرة النمو الخطويه (Prabha et al., 2012). حيث تضمن عمله مشاركة A-B الهايدروكسيل مع الحامض وبلمرة بعض اللاكتونات والأستره من ثنائي الكحول الخطي A-A مع طرف الحامض ثنائي الكاربوكسيل الاليفاتي B-B حيث كان الناتج بوليمرات منخفضة الوزن الجزيئي (١٠٠٠٠-١٠،٠٠٠ غم/مول) ومواد صلبة بلورية وعرضة للتحول من حالة الانصهار او (الذوبان) الى الخيوط التي يمكن أن تمتد بأقل من نقطة انصهارها مع اقصى زيادة في القوة. عمل كاروثرز ايضا مع السلاسل الاليفاتيه للبولي استر والتي كانت قابلة للذوبان في السوائل العضوية وقليلة الانصهار ومقاومه ضعيفة للتميئ، كما ان هذه البولي استرات لم تستخدم في نسيج الالياف (Edlund and Albertsson, 2003). أدت تلك المفاهيم في وقت لاحق إلى اكتشاف النايلون ٦،٦ في عام ١٩٣٥ اما في عام ١٩٤١ فقد قام كل من Winfield وDickson's بتطوير البولمي (أثيلين تيريفثاليت) (Zhao et al.,2010) (PET). ان التراكيب الاروماتية تكون ضرورية في زيادة درجة الانتقال الزجاجي الى اعلى من ٢٥٠ درجه مئوية (Belal,2013). حيث تنصهر البولي استرات عادة وتتدفق تحت تأثير درجة الحرارة التي تكون اعلى من 260 درجة مئوية. ان البولي استرات الاروماتية ذات أهمية كبيرة سواء علميا أو تجاريا وبسبب خصائصها الفيزيائية والميكانيكية الممتازة والاستقرار الحراري أصبحت من بين أهم البوليمرات المتاحة تجاريا مع التطبيق على نطاق واسع، ولاسيما في تغليف المواد الغذائية والمشروبات. ولكن نظرا لمقاومتها القوية للهجوم البكتيري أو الفطري عادة ما تظل دون تغيير في ظل ظروف البيئة (Oswal and Pandya, 2004; Wu, 2012). ومع ذلك فان البولي استرات الاروماتية التي تمتلك درجة حرارة انتقال زجاجيه ودرجة حرارة انصهار عاليتين وصلابة في بعض المذيبات العضوية بحكم هياكلها الصلبة يكون من الصعوبة معالجتها (Cui et al., 2012, الصعوبة معالجتها (2012, الصعوبة عالم على الصعوبة ال . (Azim et al., 2006; Brioudea et al., 2007

- الجزء العملى

المواد الكيميائية: - جميع المواد المستخدمة نقية ومجهزة من الشركات الاتية: -

(BDH, Merk, Scharlab, TCL, ALFA, Aldrich, Thomas Baker)

الأجهزة المستخدمة: – قيست درجات الانصهار باستعمال جهاز من نوع (Melting point/SMP) من نوع (Stuart) وسجلت أطياف الأشعة تحت الحمراء بواسطة جهاز من شركة (Stuart) من نوع (MHz) وسجل طيف الرنين النووي المغناطيسي البروتوني (HNMR) بجهاز من نوع (Germany)BrukerBiospin وباستعمال (DMSO-d⁶) كمذيب. التحليل الوزني الحراري (TGA) تم ا دقيقة (Polymer laboratories co. England, Model PL-TG) وبمعدل تسخين ۱۰ م ا دقيقة بغطاء من غاز الاركون و بمعدل حرارة (25-100°). وتم تجفيف العينات باستعمال جهاز فرن التجفيف من نوع (K-VO27) من شركة (K & K scientific supplier).

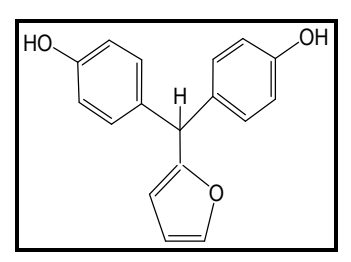
۱- تخلیق المونیمر (BCHPBM) Bis(2-Bromo 4-hydroxy phenyl) bis phenyl methan

يخلق المونيمر (BCHPBM) من تفاعل مزيج من البنزوفينون (16mmol) (2.72g) مع ٢-كلورو فينول (42mmol) (42g) (42mmol) وبوجود HCl بتركيز HCl) كعامل مساعد والثايوكلايكولك أسيد كمعجل (6mmol) (0.5g) في قعر دورق دائري مجهز بمكثف ومحرك مغناطيسي ومحرار ووضع هذا المزيج في حمام مائي بدرجة حرارة °60C وصعد لمدة (6hrs) بعد مده محدده من الوقت ينقل المزيج الى ماء بارد لتبريد التفاعل. الناتج يغسل بالماء ويرشح ويجفف تحت الضغط المخلخل في فرن التجفيف لون التجفيف للناتج هي (87%). لون البلورات الناتجة ذات لون أصفر درجة حرارة انصهارها (°56-56).

شكل (١) تركيب المونيمر (BCHPBM

Y - تخليق المونيمر (BHPFM) 2-(Bis(4-hydroxy phenyl)2- furel methane)

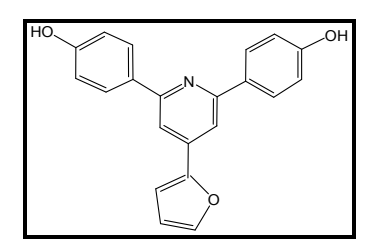
من محلول حامض الكبريتيك H2SO4 بتركيز (0.1M) تم أخذ (60mL) منه وأضيف الى مزيج (40mL) من الميثانول و (21mmol) (2g) من الفينول مع (1.5g) (12mmol) من الفورفورال. وضع هذا المزيج في دورق دائري ذو فوهة مجهز بمحرك مغناطيسي ومكثف ومحرار. يوضع هذا المزيج في حمام مائي بدرجة حرارة (°120C) وصعد لمدة (10hrs) مع التحريك المستمر الناتج يبرد ويرشح ويغسل بالماء ثم يجفف تحت الضغط المخلخل (2004-2000). النسبة المئوية للناتج (85%) البلورات الناتجة ذات لون ماروني درجة حرارة الانصهار (°200-209C).



شكل (٢) يوضح تركيب (BHPFM)

"- تخلیق المونیمر (FBHP) 6(2-furel)2,4 bis (4-hydroxy Phenyl)Pyridine

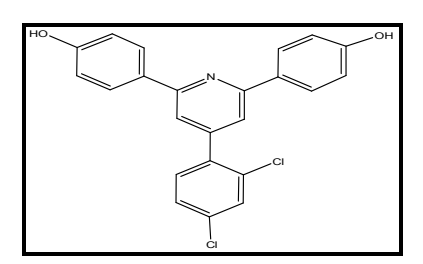
يخلق المونيمر (FBHP) بتفاعل مزيج من ٢٠١٤داي كلورو بنزالديهايد (FBHP) بتفاعل مزيج من ٢٠١٤داي كلورو بنزالديهايد (RBHP) عدم المونيوم الميتيت (7.5g) مع حامض الخليك الثاجي هايدروكسي اسيتو فينون (3.31g) مع دامض الخليك الثاجي (20mL) في قعر دورق دائري ذوفوهه مجهز بمحرك مغناطيسي. يوضع هذا المزيج في حمام زيتي ويصعد بدرجة حرارة ودرشح ويغسل او لا بحامض الخليك ثم بالإيثانول ل (20ml) (20ml). النسبة المئوية للناتج هي (89%) وتكون البلورات الناتجة ذات لون أبيض درجة حرارة الانصهار هي (89%)



شكل (٣) يوضح تركيب (FBHP)

4- تخليق المونيمر (CPBHP) 4-(2,4 di chloro phenyl) 2,6-bis (4- hydroxyl phenyl)pyridine

يخلق هذا المونيمر بنفس طريقة تخليق المونيمر اعلاه (FBHP) ولكن باستخدام ٤٠٢ داي كلوروبنزالديهايد (1.31g,24mmol) مع ٤-هايدروكسي اسيتو فينون (1.31g,24mmol). البلورات الناتجة ذات لون ابيض، النسبة المئوية للناتج هي (80%) درجة حرارة انصهارها (189-189C).



شكل (٤) تركيب المونيمر (CPBHP)

4.4- Azo di benzoic acid تحضير صبغة الازو

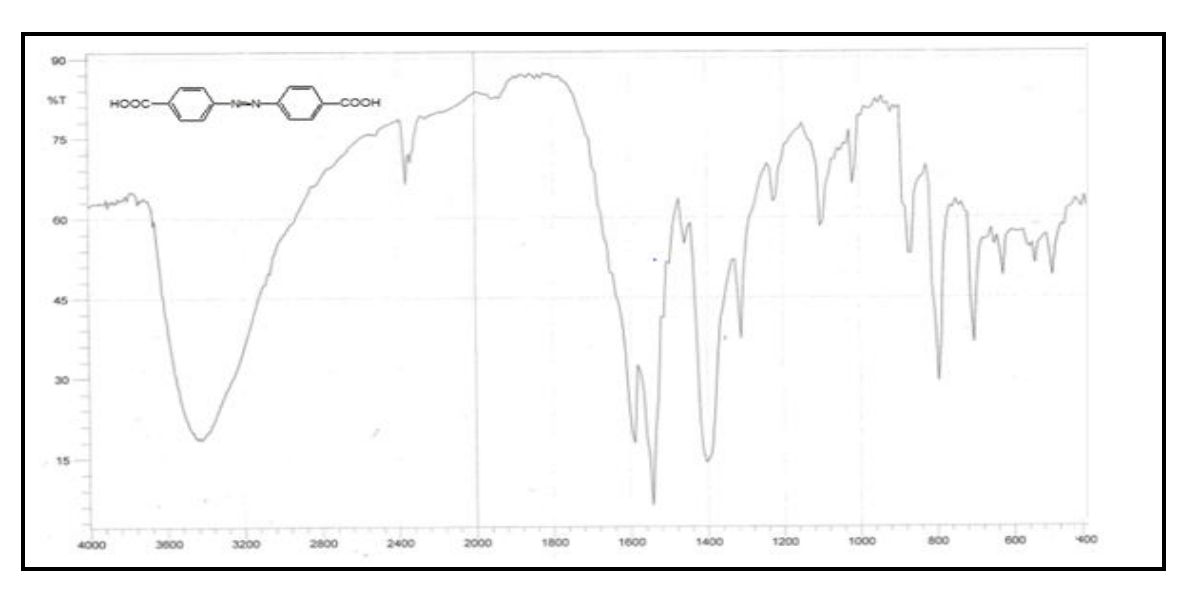
تحضر في دورق دائري سعة ($250 \, \mathrm{mL}$) يوضع ($6.5 \, \mathrm{g}$) من 3 - نايترو بنزويك اسيد و($250 \, \mathrm{mL}$) هيدروكسيد الصوديوم يذوب المزيج في ($150 \, \mathrm{mL}$) من الماء ويسخن بدرجة حرارة ($50 \, \mathrm{mL}$) ثم يؤخذ ($50 \, \mathrm{mL}$) من الكلوكوز يذوب في($100 \, \mathrm{mL}$) ماء ويضاف ببطء الى المزيج ويسخن بدرجة الحرارة ($50 \, \mathrm{mL}$) بدرجة حرارة الغرفة ومن ثم يكون الناتج بلورات برتقالية اللون (Faghihi and Hagibeygi 2007)

$$O_2N - \left(\begin{array}{c} \\ \\ \\ \end{array}\right) - CO_2H \xrightarrow{\text{Gluocose}} HO_2C - \left(\begin{array}{c} \\ \\ \\ \end{array}\right) - N = N - \left(\begin{array}{c} \\ \\ \\ \end{array}\right) - CO_2H$$

مخطط(١) يبين تحضير صبغة الازو 4,4 Azo di benzoic acid

مطيافية FTIR للصبغة A,4Azo di benzoic acid

يعود ظهور حزمة الامتصاص عند التردد ($^{-1}$ 2839 الى الأصرة ($^{-1}$) الاليفاتية وظهور الحزمة عند التردد ($^{-1}$ 1589 cm) تعود إلى الأصرة ($^{-2}$) الاروماتية. ويعزى ظهور الحزمة عند التردد ($^{-1}$ 1311cm) الى وجود الأصرة ($^{-1}$) اما الحزمة الظاهرة عند التردد ($^{-1}$ 1000cm) فتعود الى مط الأصرة ($^{-2}$) الاستريه وظهور الحزمة عند التردد ($^{-1}$ 103 cm) فتعود الى مط الأصرة ($^{-2}$) الاستريه عند التردد ($^{-1}$ 1458cm) فتعود الى المورة عند التردد ($^{-1}$ 3425cm) وايضا ظهور الحزمة عند التردد ($^{-1}$ 3425cm) تعود الى الأصرة ($^{-1}$ 3425cm).



شكل (٥) مطيافية FT-IR للصبغة 4,4- Azo di benzoic acid

تخليق البوليمرات

تخليق P.E1

يخلق (P.E1) في دورق دائري ذوفوهه واحده مجهز بمكثف ومحرك مغناطيسي ومحرار تم مزج (P.E1) من حامض الفثاليك (Phthalic acid) مع (1.1g) من مونيمر الداي هيدروكسي (BCHPBM) مع (1.20°) من المستمر وبعد اذابة الحامض ووضع هذا المزيج في حمام زيتي ويسخن بدرجة حرارة (120°) مع التحريك المستمر وبعد اذابة الحامض في الكحول يتم اضافة (1mL) من الهكسان كعامل معفزو (9mL) من الهكسان كعامل مساعدا المزيج ثم يسخن بدرجة حرارة (160°) لمدة (1hrs) الناتج يجفف تحت الضغط المخلخل (الفاكيوم) بدرجة حرارة (50°) الناتج هو بولي استرات طويلة السلسلة وتكون بشكل مساحيق ذات لون برتقالي (75%).

مجلة جامعة بابل ، العلوم الحرفة والتطبيقية والعلوم المنصبية ، المجلد (Π)، العدد (Γ): Γ

شكل (٦) تركيب (٩.E1)

جدول (١) يبين تخليق البولي استرات والنسب المئوية لكل من (٩.Ε2, Р.Ε3, Р.Ε4)

NO	Polymer	Substa	Color	Yield %	
		Monomer Di hydroxyl	Di acid		
2	PE2	BHPFM	Maleic acid	Brown	80%
3	PE3	FBHP	4,4 azodibenzoic acid	Black	88%
4	PE4	СРВ НР	4,4 azo di benzoic acid	Orange	80%

جدول (١) يبين تخليق البولي استرات والنسب المئوية لكل من (P.E2,P.E3,P.E4)

شكل (٧) تركيب (٩.E3,P.E4) بتركيب

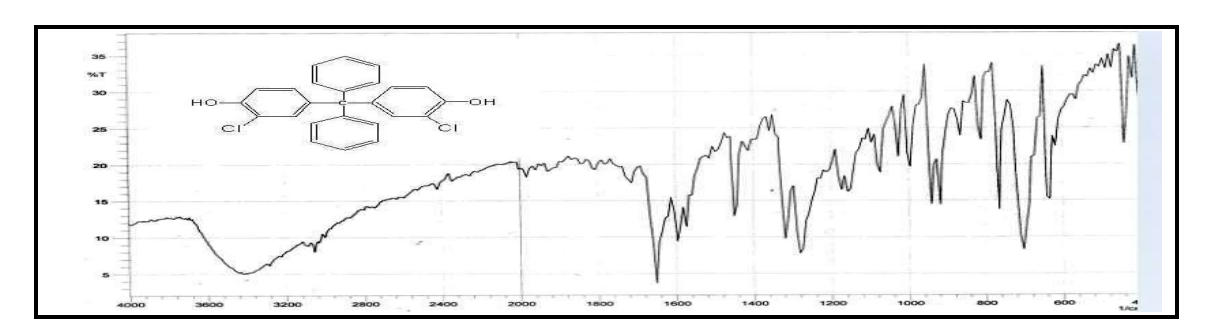
النتائج والمناقشة

تخليق المركب (BCHPBM)

يخلق المركب (BCHPBM) من تكاثف جزيئة واحدة من البنزوفينون مع جزيئتين من2 –كلور وفينول مع الثايوكلايكولك أسيد مع حامض الهيدروكلوريك يصعد التفاعل لمدة (6 ساعات) بدرجة حرارة 60 .

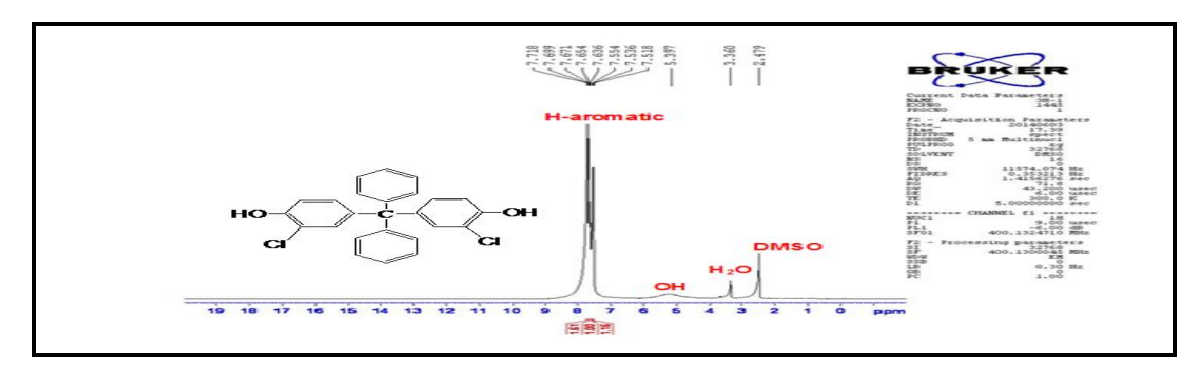
المخطط(٢) يبين تخليق (BCHPBM)

يعود ظهور حزمة الامتصاص عند التردد (3001cm⁻¹) الى تردد الأصرة (C-H) الاروماتية في حين تعود الحزمة عند التردد (C-H) الايفاتية وظهـور الحزمـة عنـد التردد (C-C) الايفاتية وظهـور الحزمـة عنـد التردد (1172cm⁻¹) تعود إلى الاصرة (C=C) الاروماتية اما الحزمة الظاهرة عند التـردد (OH) وظهور الحزمة عند التردد (3402,3286cm⁻¹) تعود الـى الاصـرة (C-O) وظهور الحزمة عند التردد (Crews et al.,1998) (C-Cl) فيعود الى الاصرة (Ccews et al.,1998).



شكل(٨) مطيافية FT-IR للمونومير (BCHPBM)

 δ =7.518 - ppm غند الإزاحة (BCHPB) بظهور إشارة عند الإزاحة (H-NMR) أظهر طيف الــ (OH) للمونيمر (BCHPB) بظهور إشارة عند الإزاحة δ =5.397 ppm غند نطاق الإزاحات (H-aromatic) وإشارة عند الإزاحة δ =5.047 ppm غند الإزاحة δ =5.047 ppm غند الإزاحة δ =5.047 ppm غند الإزاحة (Casale and Nguyen, 2010) δ =5.047 ppm غنود الى (P).



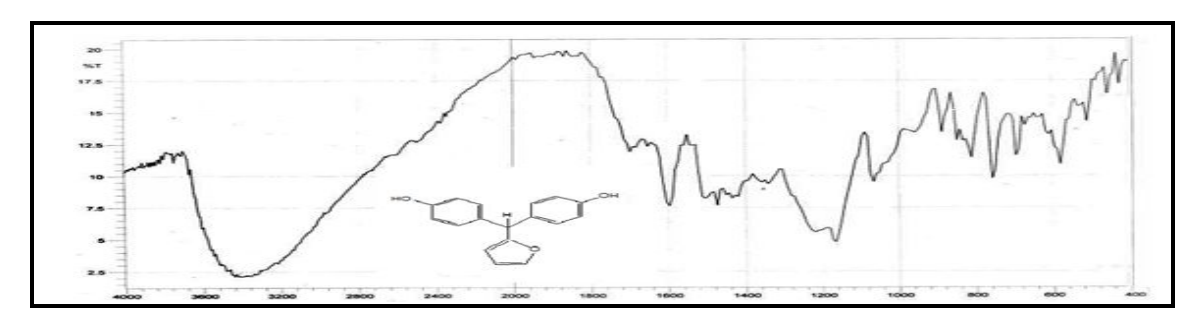
شكل (٩) طيف الـــ(H-NMR) لل (٩) طيف

مجلة جامعة بابل ، اعلوم الصرفة والتطبيقية واعلوم المنصية ، المجلد (١٦)، العدد (٢):١٠١٠ تخليق المونيمر (BHPFM)

يخلق المركب (BHPFM) من تفاعل جزيئة واحدة من الفورفورال مع جزيئتين من الفينول وحامض الكبريتيك والميثانول يصعد التفاعل لمده (١٥٠ ساعات) بدرجة حرارة $^{\circ}$

المخطط (٣) يبين تخليق(BHPFM)

يعود ظهور حزمة الامتصاص عند التردد (C-H) الله تردد الاصرة (C-H) الاروماتية في عبود ظهور حزمة الامتصاص عند التردد (C-H) الايفاتية وظهور الحزمة عند الترددين حين تعود الحزمة عند التردد (C-C) الله الاصرة (C-C) الاروماتية . أما ظهور الحزمة عند التردد (C-C) الاصرة (C-O) وظهور الحزمة عند التردد (3394cm-1) تعود الى مسط الاصرة (Crews et al.,1998) (OH).



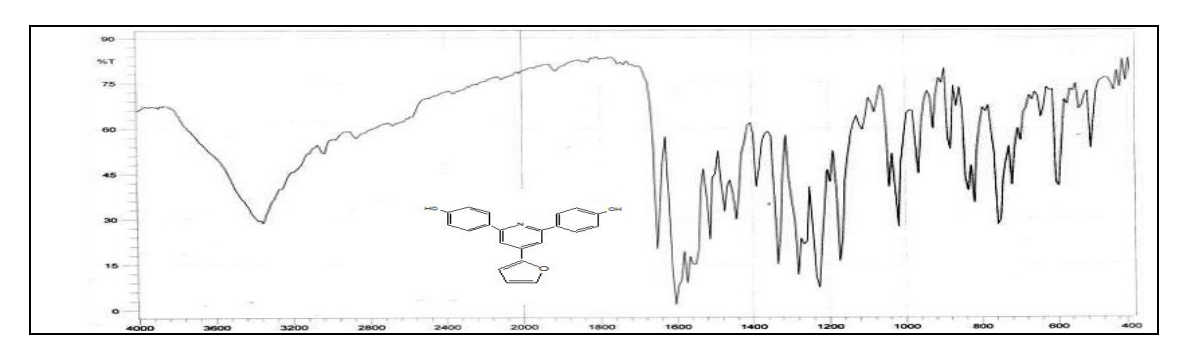
شكل (١٠) مطيافية FT-IR للمونومير (١٠)

يخلق المركب(FBHP) من تفاعل جزيئة واحدة من الفورفورال مع جزيئتين من 4- هيدروكسي اسيتوفينون والامونيوم اسيتيت وحامض الخليك الثلجي يصعد المزيج لمدة (٢ساعة) بدرجة حرارة -140° . 142°

المخطط(٤) يبين تخليق(FBHP)

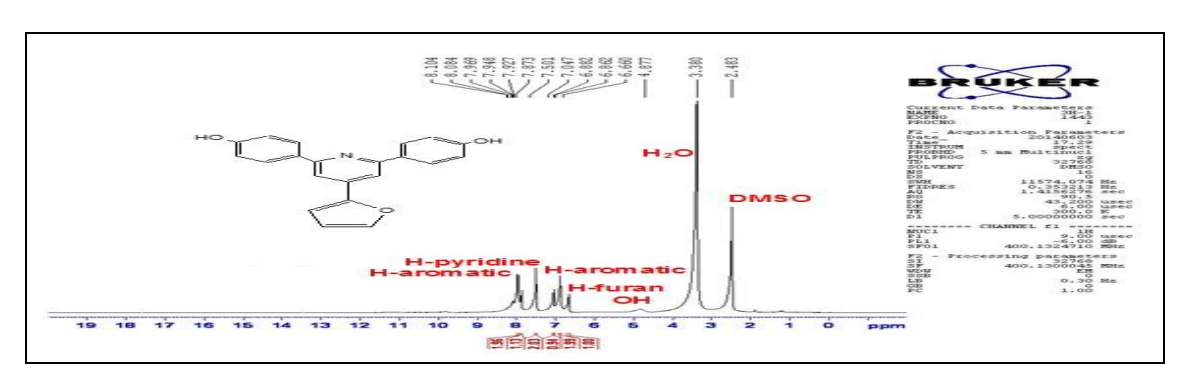
يعود ظهور حزمة الامتصاص عند التردد ($^{-1}$ 3016cm) الى تردد الأصرة ($^{-1}$ 1) الاروماتية في حين تعود الحزمة عند التردد ($^{-1}$ 2800 cm) الى الاصرة ($^{-1}$ 280cm) الاروماتية. ويعزى ظهور الحزمة عند التردد ($^{-1}$ 1280cm) تعود الى الاصرة ($^{-1}$ 29) الاروماتية. ويعزى ظهور الحزمة عند التردد ($^{-1}$ 1280cm)

الى وجود الاصرة (C-N) وكذلك ظهور الحزمة عند الترددين (C-N) وكذلك ظهور الحزمة عند الترددين (C-N) و الحرمة عند (C-N) اما ظهور الحزمة عند التردد (C-N) فتعود الى مط الاصرة (C-O) وظهور الحزمة عند التردد (Crews et al., 1998) (OH) .



شكل (١١) مطيافية FT-IR للمونومير (١١)

 δ =6.660 - ppm أظهر طيف الــ (FBHP) للمونيمر (FBHP) بظهور إشارة عنــ د الإزاحــة (OH) المونيمر (H-aromatic) تعود إلى (OH) تعود إلى (H-aromatic) وإشارة عند نطاق الإزاحات (OH) تعود إشارة عند الإزاحة (OH) وجود إشارة عند الإزاحة (OH) وحجود إشارة عند الإزاحة (OH) تعود الى (OH) (Casale and Nguyen, 2010) (OH) تعود الى (OH) (Casale and Nguyen, 2010) (OH)



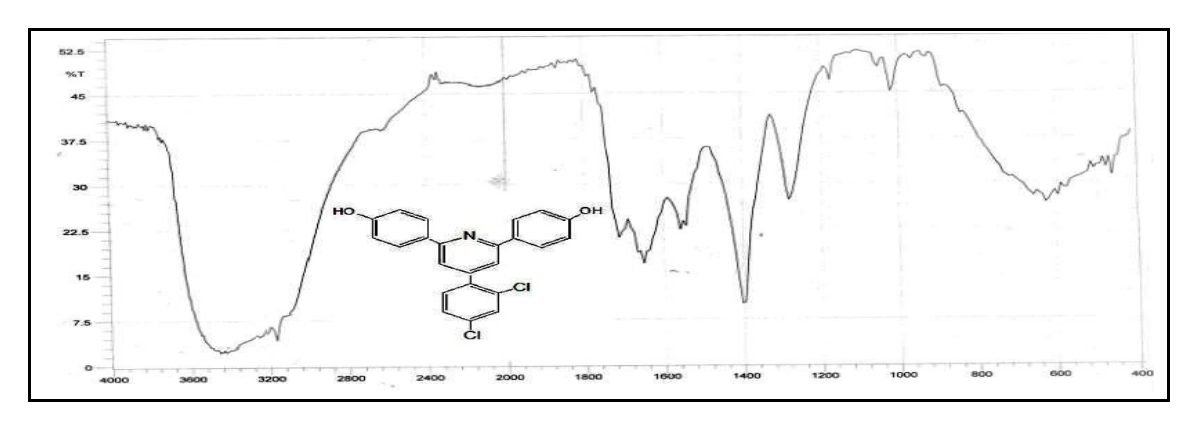
شكل (١٢) طيف الـــ(H-NMR) لل (١٢)

تخليق المونيمر (CPBHP)

المركب (CPBHP) يخلق من تفاعل جزيئة واحدة من ٤٠٦ داي كلوروبنز الديهايد مع جزيئتين من ٤- هايدروكسي اسيتوفينون مع الامونيوم أسيتيت وحامض الخليك الثلجي يصعد المزيج لمدة (٢ساعة) بدرجة حرارة 142 - 142 .

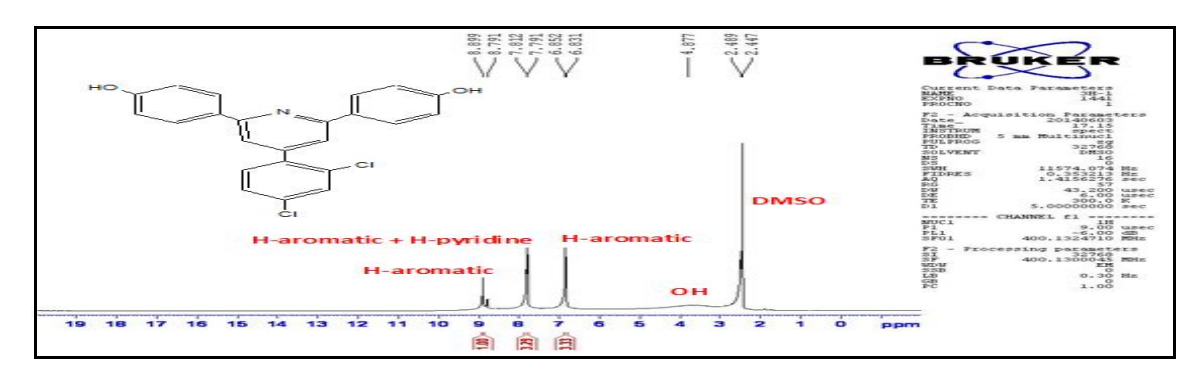
المخطط(٥) يبين تخليق(CPBHP)

يعود ظهور حزم الامتصاص العريضة عند الترددين ($^{-1}$, 3255cm الى تـردد الاصـرة ($^{-1}$) الاروماتية. بالإضافة إلى ظهور ($^{-1}$) في حين تعود الحزمة عند التردد ($^{-1}$) الى الاصرة ($^{-1}$) الاروماتية. بالإضافة إلى ظهور الحزمة عند التردد ($^{-1}$) وأخرى عنــد التـردد ($^{-1}$) تعـودان الــي الاصـرة ($^{-1}$) الاروماتية. ويعزى ظهور الحزمة عند التردد ($^{-1}$) الى وجود الاصرة ($^{-1}$) وكذلك الحزمة عنــد الترددين ($^{-1}$) الى الاصرة ($^{-1}$) وظهور الحزمة عند التردد ($^{-1}$) وتعود الى الاصرة ($^{-1}$) الى الاصرة ($^{-1}$) وظهور الحزمة عند التردد ($^{-1}$) ($^{-1}$) ($^{-1}$) ($^{-1}$) المحرة ($^{-1}$) ($^{-$



شكل (CPBHP) لل FT-IR (۱۳)

 δ =6.831- ppm ظهر طيف الــ(CPBHP) المونيمر (CPBHP) بظهور إشارة عند الإزاحــة $(OH)^1$ المونيمر (CPBHP) بظهور إشارة عند الإزاحــة $(OH)^2$ تعود إلى (H-aromatic) و إشارة عند الإزاحـة $(OH)^2$ تعود إلى (DMSO) . كما مبين في الشكل (١٤).



شكل (١٤) طيف الــ(H-NMR) لل (٢٤)

تخليق البولى استرات

يتم تخليق البولي استرات بواسطة عملية البلمرة التكثيفية لمونيمرات ثنائية الهايدروكسيل مع (M1) (Phthalic acid) مع (M1) مع (P.E1) والمض الكربوكسيلية حيث تم تخليق ال P.E2 بواسطة تكاثف حامض الماليك (Maleic acid) مع (M2) اما P.E2 الما فتم تخليقه أيضا عن طريق تفاعل التكاثف لحامض الماليك (Maleic acid) مع كل من P.E4, فخلق بتكاثف حامض ٤،٤ ازو داي بنزويك اسيد (4,4 Azo di benzoic acid) مع كل من (M2) المونيمرين (M4,M3) على التوالي باستخدام dibutyltine dilaurate كعامل معجل (M4,M3)

والهكسان (مذيب) (9mL) كعامل مساعد يصعد التفاعل بدرجة حرارة (°160C) . المخطط التالي يبين تخليق البولي استرات P.E1-P.E4 .

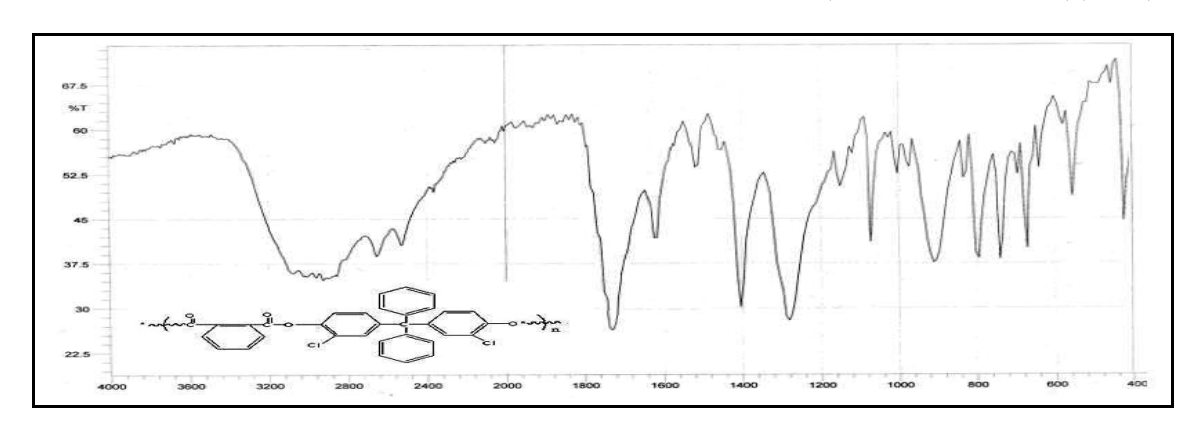
المخطط(٦) تخليق (٩.E3,P.E4) المخطط(١

تشخيص البوليميرات [P.E1-P.E4]

تخليق P.E1

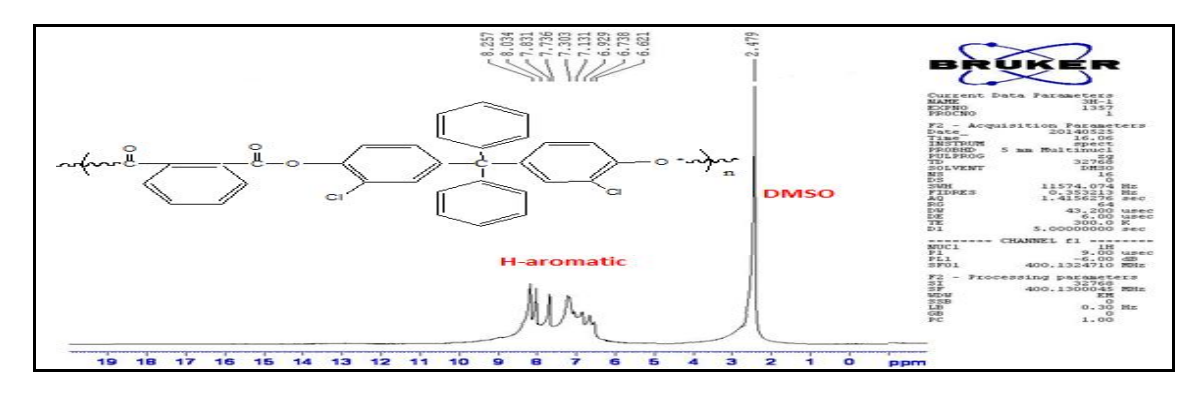
طيف FT-IR لل PE1

يعود ظهور حزمة الامتصاص عند التردد (C-H) الى ترددالاصرة (C-H) الاروماتية في حين تعود الحزمة عند التردد (2900,2854cm⁻¹) الى الاصرة (C-H) الاليفاتية وظهر الحزمة عند التردد (T744cm⁻¹) الاروماتية. ويعزى ظهور الحزمة عند التردد (T744cm⁻¹) الاصرة (C=C) الاروماتية. ويعزى ظهور الحزمة عند التردد (1728) واخرى عند التردد (1728) فتعود الى مط الاصرة (C=O) الاسترية وظهور الحزمة عند التردد (1072cm⁻¹) يعود الى مط الاصرة (C-C) وظهور الحزمة عند التردد (Cews et al.,1998) (C-Cl)



شكل (١٥) مطيافية الFT-IR لل P.E1

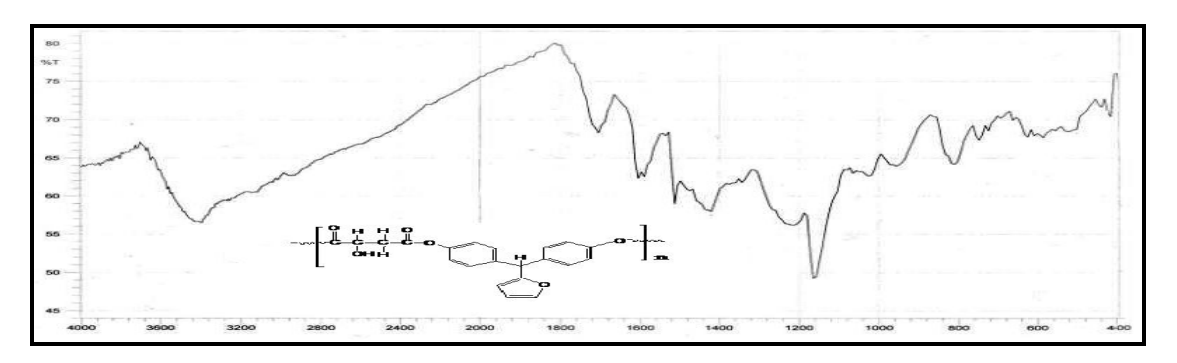
6.621 أظهر طيف الــ (P.E1) لـــل (P.E1) اشـــارات متعــددة عنــد نطــاق الازاحــات δ = 2.4 79ppm أقهر الطيف ايضا إشارة منفرده δ تعود إلى بروتونات الحلقة الاروماتية، واظهر الطيف ايضا إشارة منفرده δ = 8.257ppm تعود الى Casale and Nguyen, 2010) DMSO لـــل (P.E1).



شكل (١٦) طيف الH-NMR لل P.E1

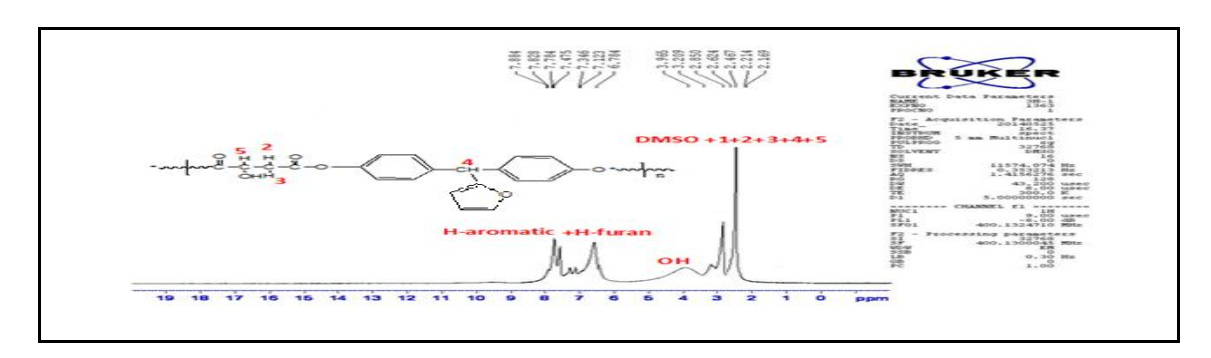
تخليق (P.E2)

يعود ظهور حزمة الامتصاص عند التردد ($^{-1}$ 3116cm) الى ترددالاصرة ($^{-1}$ 1) الاروماتية في حين تعود الحزمة عند التردد ($^{-1}$ 2947cm) الى الاصرة ($^{-1}$ 2947cm) الى الاصرة ($^{-1}$ 2947cm) الاروماتية. ويعزى ظهور الحزمة عند التردد ($^{-1}$ 3232,3394cm) تعود الى الاصرة ($^{-1}$ 2) الاروماتية. ويعزى ظهور الحزمة عند التردد ($^{-1}$ 470cm) فتعود الى مط الاصرة ($^{-1}$ 470cm) وكذلك ظهور الحزمة عند التردد ($^{-1}$ 471) يعود الى مط الاصرة ($^{-1}$ 571) در ($^{-1}$ 572cm) يعود الى مط الاصرة ($^{-1}$ 572cm) .



شكل (۱۷) مطيافية FT-IR لل P.E2

 δ =6.621-) ppm اشارات متعددة عند نطاق الازاحات (P.E6) المارات (P.E6) المارات متعددة عند نطاق الازاحات (P.E6) الماروء المارو

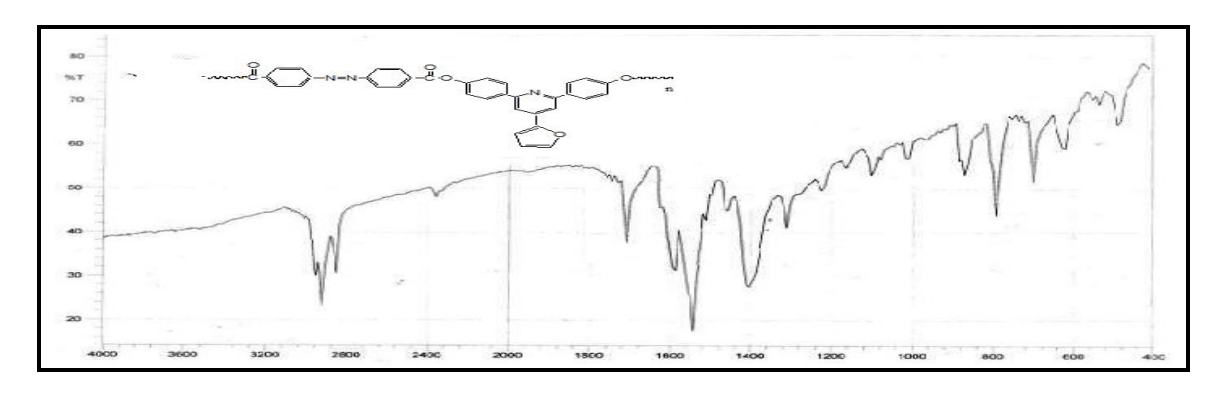


شكل (١٨) طيف الــ(H-NMR ال ٢٠٤٥

تخليق P.E3

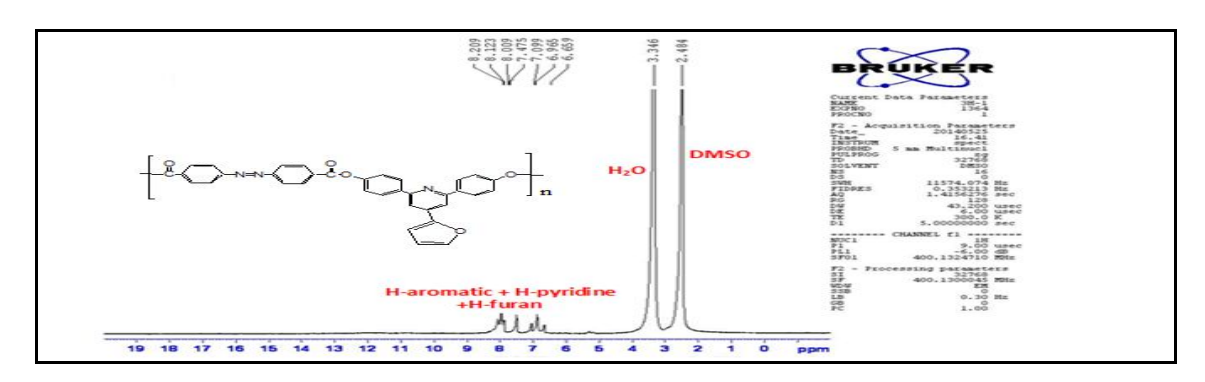
يعود ظهور حزمة الامتصاص عند التردد ($^{-1}$ الكروماتية في ترددالاصرة ($^{-1}$) الاروماتية في حين تعود الحزمة عند التردد ($^{-1}$) الاروماتية وظهور الحزمة عند التردد ($^{-1}$) الاصرة ($^{-1}$) الاروماتية. ويعزى ظهور الحزمة عند التردد ($^{-1}$) تعود الى الاصرة ($^{-1}$) الاروماتية. ويعزى ظهور الحزمة عند التردد ($^{-1}$) الاصرة ($^{-1}$) اما لي وجود الاصرة ($^{-1}$) وكذلك ظهور الحزمة عند التردد ($^{-1}$) الاصرة ($^{-1}$) الاسترية واما ظهور الحزمة عند التردد ($^{-1}$) الاسترية واما ظهور الحزمة عند التردد ($^{-1}$)

التردد (C-O) فتعود الى مط الاصرة (C-O) وظهور الحزمة عند التردد (1458cm⁻¹) تعود الى التردد (Crews et al., 1998)(N=N).



شكل FT-IR (۱۹) لك P.E3

=6.659-8.209 أظهر طيف الــ(P.E4) لل (P.E4) الشارات متعددة عند نطاق الازاحات δ Ppm (P.E4) المارة منفردة المين المنا إللى المناب المن

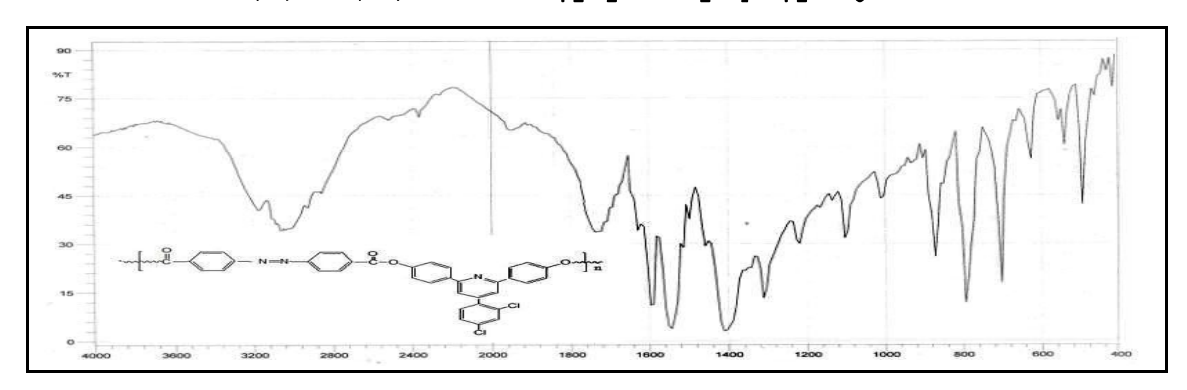


الشكل (۲۰) طيف الـــ(H-NMR)لل P.E3

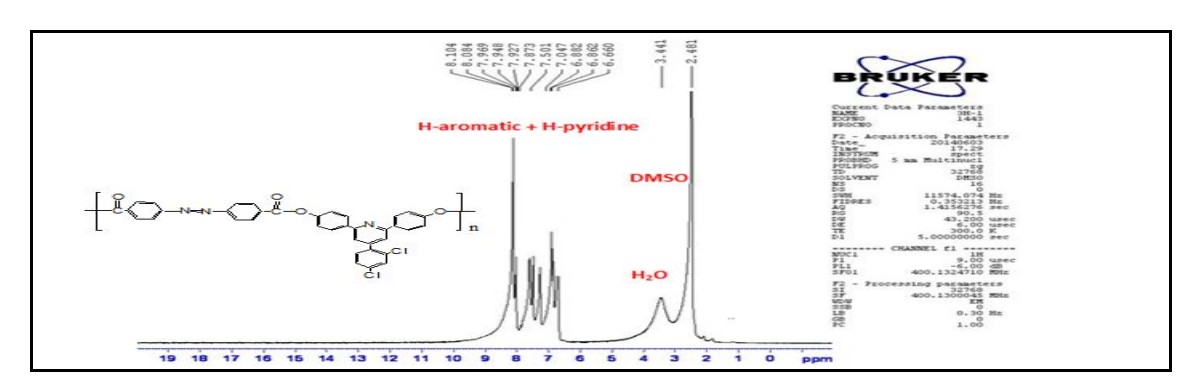
تخلیق P.E4

يعود ظهور حزمة الامتصاص عند الترددين ($^{-1}$ 3016,3170cm) الى تردد الاصرة ($^{-1}$ 1) الايفاتية وظهور الحزمة الاروماتية في حين تعود الحزمة عند التردد ($^{-1}$ 2923 cm) الاروماتية. ويعزى ظهور الحزمة عند التردد ($^{-1}$ 1651 cm) تعود الى الاصرة ($^{-1}$ 291) الاروماتية. ويعزى ظهور الحزمة عند التردد ($^{-1}$ 1596,1542cm) الى وجود الاصرة ($^{-1}$ 291) وكذلك ظهور الحزمة عند التردد ($^{-1}$ 291) المسترية اما الاصرة ($^{-1}$ 391) الما الحزمة الظاهرة عند التردد ($^{-1}$ 391) فتعود الى مط الاصرة ($^{-1}$ 391) وظهور الحزمة عند التردد ($^{-1}$ 391) فتعود الى مط الاصرة ($^{-1}$ 391) تعود الى الاصرة ($^{-1}$ 391) وايضا ظهور الحزمة عند التردد ($^{-1}$ 491) تعود الى الاصرة ($^{-1}$ 391) وايضا ظهور الحزمة عند التردد ($^{-1}$ 491) تعود الى الاصرة ($^{-1}$ 391).

مجلة جامعة بابل ، اعاوم الصرفة والتطبيقية والعاوم المنصبية ، المجلد (١٦)، العدد (٢):٢٠١٨



شكل (۲۱) مطيافية FT-IR لل P.E4



شكل (٢٢) طيف الــ(H-NMR لل 4.24

قياس الذوبانية ودراسة تأثير المذيبات في البولي استرات الاروماتية

ذوبانية البولي استرات الاروماتية اجريت بشكل نوعي في بعض المذيبات العضوية الشائعة ولخصت في الجدول (٢) وتم قياس الذوبانية بأخذ (0.01g) من عينة البوليمر واذيبت في (2mL) من المذيب، حيث والطهرت البولي استرات الاروماتية قابلية ذوبان عالية في المذيبات الثنائية القطب اللابروتونية (polar) من هذه المذيبات الثنائية القطب اللابروتونية (aprotic (aprotic CHCl₃, CH₂Cl₂, NaOH, H2SO₄, HNO₃, acetone, ويعزا سبب الذوبانية في هذه المذيبات بسبب سلوكها كقواعد لويس حيث ريد من معدل سرعة التفاعل الامامي أي معدل تكوين (PE) وذلك بسبب التاصر الهيدروجيني بين ذرة الاوكسجين لمجموعة الكاربوكسيل استر (O-Carboxyl ester) والمذيب فضلا عن ذلك فان تفاعل (حامض – قاعده) بين المذيب و (PE) يمنع تفكك البروتون الكاربوكسيلي وبالتالي عكس التفاعل وعلى عكس (حامض – قاعده) بين المذيب و (PE) التي تكون اقل قطبيه ومن ثم تقل قدرتها على تكوين تاصر هيدروجيني مع ذرة اوكسجين كاربوكسيل استر (Yusuke et al., 2012).

مبلة جامعة بالل ، العلوم الحرفة والتطبيقية والعلوم المنصية ، المبلد (Π)، العدد (Π) المناب العضوية جدول (Π) ذوباتية البوئي استرات في المذيبات العضوية

Solvent	Polyester						
	P.E1	P.E2	P.E3	P.E4			
pyridine	+ -	++	+ -	++			
CHC13	+ -	++	++	++			
CH2Cl2	++	++	+ -	+ -			
NaOH	+ -	+ -	++	++			
H2SO4	+ -	+++	+++	+ -			
HNO3	++	+ -	++	++			
Acetone	+ -	+ -	+++	++			
Benzene	++	++	++	++			
DMF	++	+-	++	++			
DMSO	OMSO +++		+ -	++			
THF	++	+ -	+ -	+++			

Full Soluble.+++ Soluble at room temperature ++ Partially Soluble .+-

دراسة وتقييم الثبات الحراري للبولي استرات المحضرة

يعرف الثبات الحراري على أنه الدرجة الحرارية المحددة التي يبدا عندها الانحلال الكيميائي للبوليمرات ترافقه نواتج متطايرة، او انه اقصى درجة حرارية يتعرض لها البوليمر من دون حدوث تغيرات ملحوظة في جو من النيتروجين او الاوكسجين أو غاز خامل(Brown 1988). ويعد الثبات الحراري من اهم الخصائص الحرارية التي من خلالها يمكن معرفه امكانيه استخدام البوليمرات في المجالات التطبيقية التي تتعرض فيها المادة الى درجات حرارية مرتفعة. وكذلك استخدمت عده تقنيات لدراسة الثبات الحراري البوليمرات منها تقنيه التحليل الحراري الوزني (TGA) المستعملة لتقييم ودراسة الاستقرارية الحرارية وقابلية مقاومة اللهب للمواد البوليميرية قيد الدراسة. التقنيات المستعملة لتقييم ودراسة الاستقرارية الحرارية وقابلية مقاومة اللهب للمواد البوليميرية قيد الدراسة. وذلك من خلال تحديد التغير في الوزن الذي يحدث عند تسخين العينة، التغيرات الكيميائية التي تحدث اثناء عمليه التسخين من خساره العينة للوزن تشير الى حدوث عمليه تفكك(تحطم) المواد الخاضعة للقياس. عمليه المدارة في الوزن التي يسببها تفكك المواد يشكل منحني (TG). وهذا المنحني يقدم بيانات ومعلومات مفيدة بشان خصائص المادة الخاضعة للقياس. وقد تم تعيين السلوك الحراري للبوليمرات المحضرة من خلال هذه التقنية (TGA)، وذلك في جو من غاز خامل (Ar) وبمعدل تسخين (۱۰ درجة مئوية لكل دقيقة) من (۱۰۰ الموضحة بالأشكال (۲۳)، (۲۶)، (۲۵) و (۲۲) و الجدول (۳). اذ

يلاحظ ان عملية فقدان الوزن الابتدائية (Ti) للبوليمرات (P.E1-P.E4) بدأت بشكل طفيف من درجة (۲۲۰م) ثم بعد ذلك تبدا عملية فقدان الوزن بالزيادة حتى درجة (۸۰۰م). وكانت درجات الحرارة عند فقدان البوليمرات(P.E1-P.E4) 0.0000 من وزنها تتراوح ما بين(0.010، 0.010، 0.010 على التوالي البولي السترات (P.E1-P.E4) في حين كانت النسبة المئوية للمتبقي عند درجة (0.010، للبولي استرات تتراوح بين (0.010، وحتى والتيمرات (0.010، وحتى والتيمرات (0.010، وحتى والتيمرات (0.010، وحتى ومن جهة اخرى هناك زيادة ملحوظة في نسب التقحم (0.010، ومقاومة الاحتراق هي (0.010، ومقاومة الاحتراق وجود مجموعة (0.010، وكذلك ان زيادة التراكيب الاروماتية ووجود مجموعة (0.010) في تركيب البوليمر يعملان على زيادة نسبة التقحم .

جدول (٣) التحليل الحراري الوزني للبولي استرات

Aromatic	DT/°C					Residue	Char %
polyester	T_i	T _{op1}	T_{op2}	T_f	T _{50%}	at °C800	at 500°C
P.E1	224	239		>800	256	69%	88%
P.E2	443	598		>800	800	46%	53%
P.E3	392	400	600	>800	567	42%	65%
P.E4	353	485	585	>800	601	65%	83%

DT: Decomposition temperature. درجات حرارة التفكك

در جة حرارة التفكك الابتدائية . Initial decomposition temperature

 T_{op} : Optimum decomposition temperature. درجة حرارة التفكك المثلى

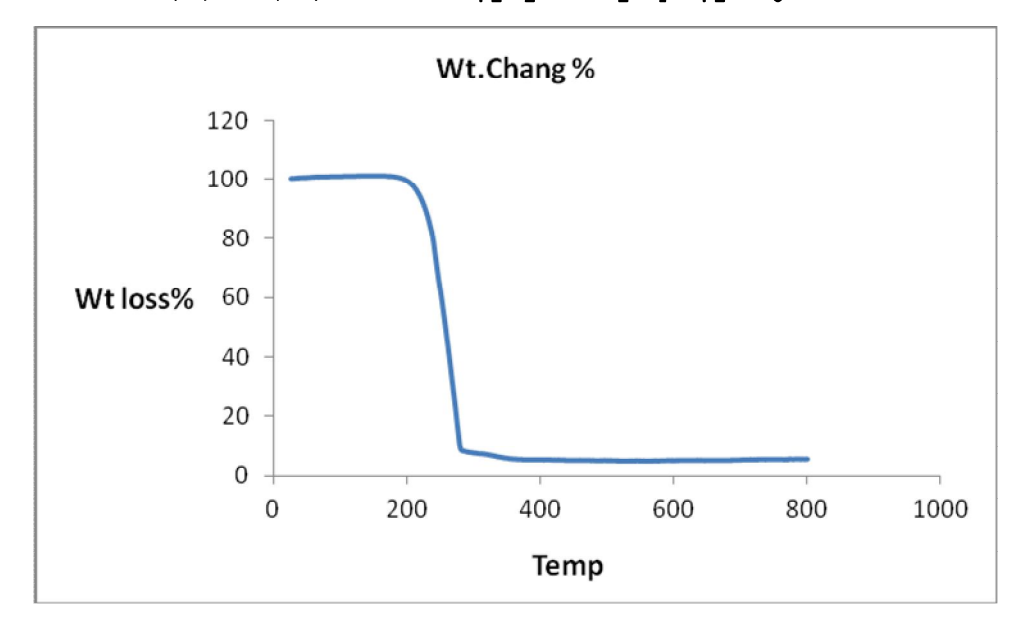
 T_f : Final decomposition temperature. درجة حرارة التفكك النهائية

 $T_{50\%}$: Temperature of 50% weight loss, obtained from TGA. العينة ٥٠%من وزنها

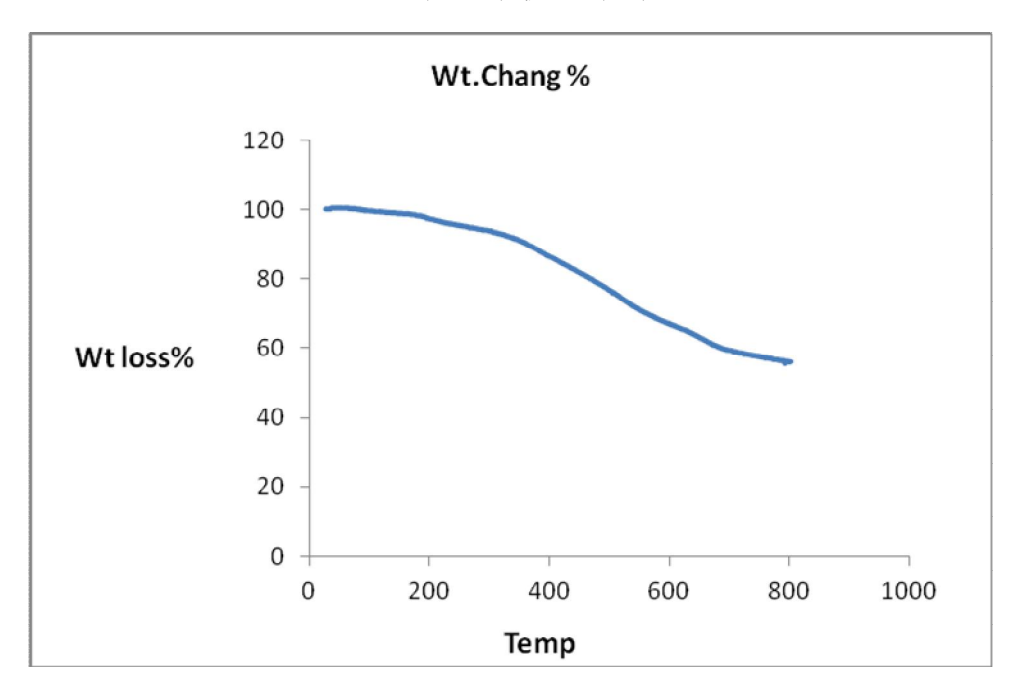
Char% at 500°C: Residual weight percentage at 500°C in Argon by TGA.

النسبة المئوية لتفحم العينة عند درجه حرارة 0.0م

مجلة جامعة بابل ، اعاوم الصرفة والتطبيقية والعاوم المنصبية ، المجلد (□)، العدد (□): ٢٠١٨

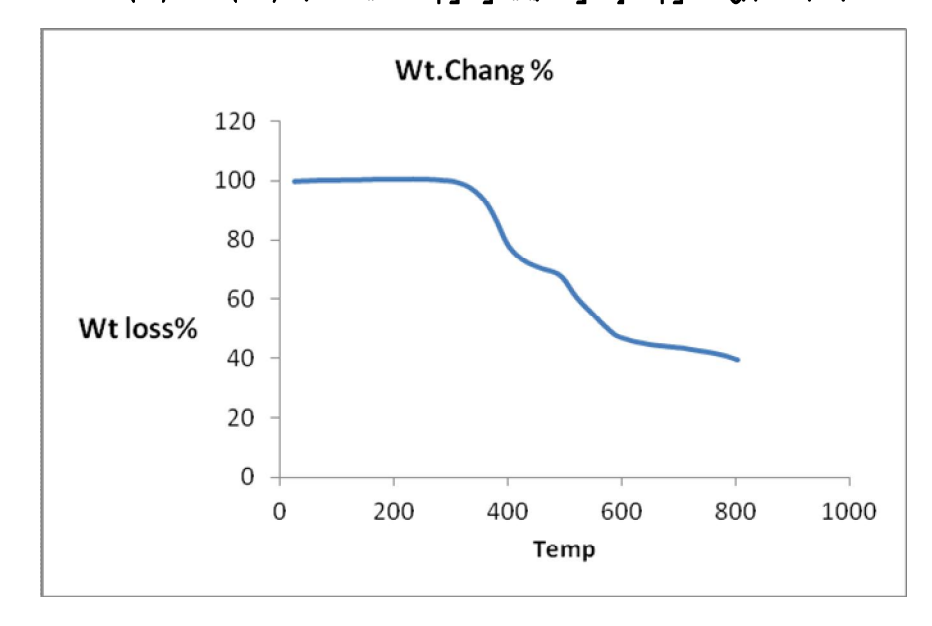


شكل (٢٣) منحني (TGA) لل P.E1

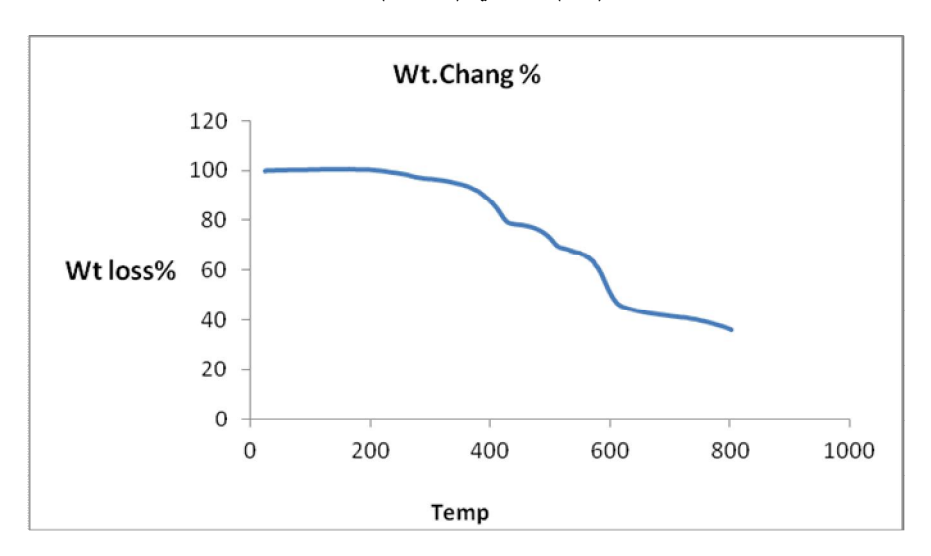


شكل (٢٤) منحني (TGA) لل P.E2

مجلة جامعة بابل ، اعلوم الصرفة والتطبيقية واعلوم المنصبية ، المجلد (١٦)، العدد (٢):٢٠١٨



شكل (٢٥) منحني (TGA) لل P.E3



شكل (٢٦) منحنى (TGA) لل P.E4

الاستنتاجات

في هذه الدراسة أظهرت البولي استرات الاروماتية التي تحتوي على مجاميع الفنيل وحلقة البريدين غير المتجانسة وعنصر الكلور التي تم تحضيرها وتشخيصها من خلال تقنيتي ($\mathrm{FT-IR}$) وطيف الرنين النووي المغناطيسي (HNMR) التي تمت دراسة الخواص الحرارية لها بواسطة تقنية التحليل الحراري الوزني (TGA)، استقراريه حرارية عالية قياسا بالبولي استرات الاروماتية التي لا تحتوي على تلك العناصر. وهذا ما يتضح من خلال نسبة التقحم العالية التي تقارب (FT و FT) عند درجة (FT و FT) عند بنسبة التقحم للبولي استرات الاروماتية التي لا تحتوي على عنصر الكلور التي ا تقارب (FT وحود نفس الدرجة. كذلك نلاحظ ان من العوامل التي ساهمت في زيادة الخواص الحرارية هي التنوع الهيكلي للبولي استرات المحظرة التي زادت من استقراريتها الحرارية من خلال زيادة الحلقات الاروماتية ووجود الاواصر مثل (FT). وكذلك ان وجود مثل تلك الاواصر جعلت من البولي استرات الاروماتية ذات قابلية

ذوبان عالية على عكس من البولي استرات الاروماتية الاخرى التي لا تحتوي على هذه الاواصر في تركيبها الكيميائي .

References

- Azim, H., Dekhterman A., Jiang Z., Gross R.A., 2006, "Candida antarctica lipase B-catalyzed synthesis of poly(butylene succinate): Shorter chain building blocks also work", *Biomacromolecules*. 7, P: 3093–3097.
- Belal, E.B.,2013," Biodegradation of Aliphatic-aromatic Coplyester under Thermophilic Conditions", *Research Journal of Environmental and Earth Sciences*. 5(11), P: 677-690.
- Brioudea, M.D., Guimaraesa D.H., Fiuzaa R.D., Boaventuraa J.S. and Jose N.M., 2007," Synthesis and Characterization of Aliphatic Polyesters from Glycerol by-Product of Biodiesel Production, and Adipic Acid", *Materials Research* .10(4), P: 335-339.
- Brown, M.E.,1988, "Introduction to Thermal Analysis, Techniques and Applications", *Chapman and Hall, London, New York.*: 3.
- Casale, F., Nguyen M., 2010, "N- Acetylbenzocaine: Formation via Transacetylation of Benzocaine and Acetylsalicylic Acid in a Cocaine Exhibit", J., (1): 7.
- Crews, P., Rodriguez J., Jaspars M., 1998," Organic structure analysis", University of California, second Ed.
- Cui, W., Jiao Q., Zhao Y., Li H., Liu H. and Zhou M., 2012," Preparation of poly(ethylene terephthalate)/layered double hydroxide Nano composites by insitu polymerization and their thermal property", *express Polymer Letters* .(6), P: 485–493.
- Edlund, U. and Albertsson A.-C.,2003," P olyesters based on diacid monomers", *Advanced Drug Delivery Reviews*. 55, P: 585–609.
- Faghihi, K. and Hagibeygi M., 2007," New Aromatic Polyamide with Azo and Phosphine Oxide Groups in the main chain", *Turk J Chem*. 31,P:65-73.
- Guimaraesa, H., Brioudea M., Fiuzaa P., Pradob A., Boaventuraa S., and Josea M., 2007, "Synthesis and Characterization of aliphatic polyesters from Glycerol, by –product of Biodiesel production, and adipic acid ", *Materials Research*. 10(4), P: 335-339.
- Hall, H., Ahad S., Bates R., Bertucci M., contreras C., Dospinoiu A., Lin G., Singletary N. and Somogyi A.,2011," Structural Analysis of Aromatic Liquid Crystalline Polyesters", *Polymers.*,(3), P: 367-387.
- Honkhambe, P.N., Bhairamadgi N.S. and Biyani M.V.,2010," Synthesis and characterization of new aromatic polyesters containing cardo decahydronaphthalene groups", *European Polymer Journal*. 46, P: 709–718.
- Katoch, S., Sharma V. and Kundu P.P.,2010. "Water sorption and diffusion through saturated polyester and their nanocomposites synthesized from glycolyzed PET waste with varied composition", *Chemical Engineering Science* .65, P:4378-4387.
- Oswal, S.L. and Pandya A.K.,2004," Synthesis and Characterization of Linear Aromatic Polyester-amides from Diacid Chlorides and Aminophenols", *Iranian Polymer Journal*. 13(3), P: 205-212.
- Prabha, L.S., Nanthini R., Krishnaveni G., 2012," Synthesis and characterization of novel biodegradable aliphatic copolyesters poly(ethylene sebacate-copropylene succinate) and poly(ethylene sebacate-co-propylene adipate)", *Journal of Chemical and Pharmaceutical Research* . 4(5), P:2442-2457.

- Rahimi, A. and Farhangzadeh S., 2001, "Kinetics Study of Bisphenol A Synthesis by ondensation Reaction", Malaysian Polymer Journal. (10), p: 1.
- Sahay, S. S. and Krishnan K., 2005," Analysis of the nonisothermal crystallization kinetics in three linear aromatic polyester systems", *Thermochimica Acta* .430, P:23–29.
- Sanadhya, S.G., Oswal S. L. and Parmer K.C.,2014," Synthesis and characterization of aliphatic-aromatic polyesters using interfacial polycondensation technique", *Journal of Chemical and Pharmaceutical Research*. 6(4), P: 705-714.
- Sarma, R., and Baruah J., 2004, "Synthesis and Characterization of Bis-(3,5-dimethyl-4- hydroxyphenyl) (aryl) Methane as Precursor forThree State Indicator", *Dyes and Pigments*. 61: 39–47.
- Shattnan, A., 2013, "Preparation and Curing of New Types of Epoxy Resins and the Study of Their Thermal Properties", *College of Education, University Of Al-Qadisyia*.: 26.
- Tamami, B. and Yeganeh H.,2002, "Synthesis and Properties of Novel Aromatic Polyamides Based on 4-aryl-2,6-bis(4-chlorocarbonyl phenyl) Pyridines", *European Polymer Journal*. 38: 933–940.
- Tamami, B. and Yeganeh H., 2001, "Synthesis and Characterization of Novel Aromatic Polyamides Derived from 4-aryl-2,6-bis(4-aminophenyl) Pyridines", *Polymer*. 42: 415–420.
- Wu, C. S., 2012, "polyester/polyaniline composite and its improved counterpart", *Express Polymer Letters*.6(6), (2012) P:465–475.
- Yusuke, tsuda, yukimatsuda, takaakimatsuda, 2012, "soluble polyimides bearing long-chain alkyl groups on their side chain via polymer reaction" *hindawi publishing corporation international journal of polymer science*. article in 972541, 10 pages
- Zhao, P., Liu w., Wu Q. and Ren J.,2010," Prepar at ion, Mechanical, and Thermal Properties of Bio degradable Polyesters/Poly(Lactic Acid) Blends", *Journal of Nanomaterial's* .4(6) P:8.